

基于深度学习的冠状病毒刺突蛋白拉曼特征峰的理论研究

倪爽, 温家星, 周民杰, 黄景林, 乐玮, 陈果,
何智兵, 李波, 赵松楠, 赵宗清, 杜凯*

中国工程物理研究院激光聚变研究中心, 四川 绵阳 621900

摘要 持续一年的新冠疫情对全球的经济造成了巨大破坏, 为了有效控制新冠疫情, 快速检测新冠病毒(SARS-CoV-2)是一个急需解决的问题。新冠病毒的刺突蛋白(spike protein)是拉曼光谱技术检测新冠病毒的检测点, 构建刺突蛋白拉曼特征峰模型对于发展拉曼检测技术快速检测新冠病毒具有重要作用。基于简化的激子模型, 利用深度学习技术, 构建了刺突蛋白的酰胺 I、III 特征峰模型, 并结合已知可以感染人类的七种冠状病毒(HCoV-229E, HCoV-HKU1, HCoV-NL63, HCoV-OC43, MERS-CoV, SARS-CoV 和 SARS-CoV-2)刺突蛋白的实验结构, 分析了七种冠状病毒刺突蛋白酰胺 I、III 特征峰的区别。计算结果表明, 七种冠状病毒可以根据毒刺突蛋白的酰胺 I、III 特征峰划分为四个组: SARS-CoV-2, SARS-CoV, MERS-CoV 形成一个组; HCoV-HKU1, HCoV-NL63 形成一个组; HCoV-229E 和 HCoV-OC43 各自独立形成一个组。相同组的冠状病毒刺突蛋白酰胺 I、III 峰频率较为接近, 通过酰胺 I、III 峰的频率较难区分刺突蛋白; 不同组的冠状病毒刺突蛋白酰胺 I、III 特征峰差异较大, 刺突蛋白可以通过拉曼技术区分开来。该结果为发展拉曼检测技术快速检测新冠病毒提供了定性判断的理论依据。

关键词 冠状病毒; 刺突蛋白; 拉曼光谱; 酰胺 I、III 峰; 深度学习

中图分类号: O641.12 **文献标识码:** A **DOI:** 10.3964/j.issn.1000-0593(2022)09-2757-06

引言

新冠疫情对全球的经济造成了巨大破坏。为了有效控制新冠疫情, 快速检测新冠病毒(严重急性呼吸综合症冠状病毒 2, severe acute respiratory syndrome coronavirus 2, SARS-CoV-2)是一个急需解决的问题。新冠病毒的刺突蛋白是病毒攻击人体的钥匙, 且在病毒表面大量分布, 因此成为拉曼光谱技术检测新冠病毒的检测点^[1-3]。要实现刺突蛋白的拉曼技术检测, 关键之一在于构建刺突蛋白的拉曼特征峰。鉴于纯刺突蛋白的拉曼谱图较难获得且成本较高, 需要从理论上快速构建刺突蛋白拉曼特征峰。此外, 人类已知可以感染的七种冠状病毒刺突蛋白的结构^[4-9]相近[图 1(a)], 是否可以通过拉曼技术区分他们对于新冠病毒的准确检测是一个十分重要的问题。基于理论构建的刺突蛋白拉曼特征峰, 可以分析七种冠状病毒刺突蛋白拉曼特征峰的不同, 为实验提供指导。

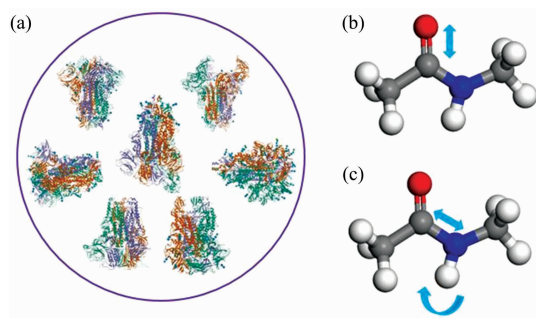


图 1 (a)七种冠状病毒刺突蛋白的结构示意图(蛋白结构图取自 <https://www.rcsb.org/>); (b), (c) N-甲基乙酰胺中酰胺 I、III 峰的振动模式示意图(b 为酰胺 I 振动模式; c 为酰胺 III 振动模式)

Fig. 1 (a) Structure of spike proteins of seven coronaviruses (The protein structure diagram is taken from <https://www.rcsb.org/>); (b), (c) Vibration mode diagram of amide I and III peaks in N-methylacetamide (b is amide I vibration mode; c is amide III vibration mode)

收稿日期: 2021-03-05, 修订日期: 2021-05-26

基金项目: 国家自然科学基金项目(22008225), 国防科工局《新冠病毒拉曼指纹峰标定与快速检测技术验证研究》项目资助

作者简介: 倪爽, 1984 年生, 中国工程物理研究院助理研究员 e-mail: nishuang@163.com

* 通讯作者 e-mail: dukai@caep.cn

拉曼检测主要是测量分子振动模式的频率和强度,理论上可以通过密度泛函理论(DFT)计算^[10-11]。然而,刺突蛋白有数万个原子,较难直接使用DFT方法计算。蛋白骨架是蛋白的特征结构,骨架结构中的酰胺单元振动形成的酰胺 I (主要是 C=O 伸缩振动,还有一些贡献来自于 C—N 伸缩)、III 峰(主要贡献来自于 N—H 弯曲和 C—N 伸缩振动的组合,还有一些贡献来自于 C=O 平面内弯曲和 C—C 伸缩振动)[图 1(b, c)]是蛋白的特征拉曼谱峰。理论上基于激子模型可以构建蛋白的酰胺 I 峰^[12-14]。激子模型假设体系的简正模可以用局域模来表示,激子模型哈密顿量可以用局域模态 $|i\rangle$ 来表示

$$\mathbf{H} = \sum_i \epsilon_i |i\rangle\langle i| + \sum_{i \neq j} \beta_{ij} |i\rangle\langle j| \quad (1)$$

式(1)中: ϵ_i 为局域模频率, β_{ij} 为局域模之间的相互作用,激子模型哈密顿量可以写成矩阵形式

$$\mathbf{H} = \begin{pmatrix} \epsilon_1 & \beta_{1,2} & \cdots & \beta_{1,n} \\ \beta_{2,1} & \epsilon_2 & \cdots & \beta_{2,n} \\ \cdots & \cdots & \cdots & \cdots \\ \beta_{n,1} & \cdots & \beta_{n,n-1} & \epsilon_n \end{pmatrix} \quad (2)$$

式(2)中: n 为局域模的数量,对角化 \mathbf{H} 矩阵可以获得激子的频率及其对应特征矢量(局域模展开为简正模的线性展开系数)。对于蛋白酰胺 I 峰而言,其局域模近似为组成蛋白骨架的每个酰胺单元的酰胺 I 振动模。

本文关注的重点是定性分析七种冠状病毒刺突蛋白拉曼特征峰的差异而非绝对值且在激子模型中 \mathbf{H} 矩阵对角元的值远大于非对角元的值。因此,本文采用简化的激子模型,仅考虑结构变化对 \mathbf{H} 矩阵对角元的校正而非将非对角元舍去。

为了校正对角元,需要对七种刺突蛋白结构中的每个酰胺单元计算拉曼谱图,每个刺突蛋白有数千个酰胺单元,逐个计算拉曼谱图费时且不利于统一误差。江俊^[15-16]等近期提出了基于机器学习构建分子结构和拉曼性质(频率、强度)之间映射关系的策略。其先通过分子动力学构建分子的分子动力学结构,然后计算结构的拉曼频率以及强度,最后使用机器学习拟合结构和性质的映射关系。本文基于此策略,构建酰胺单元结构和拉曼峰频率以及强度之间的模型。

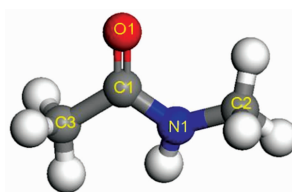
文献中多数研究集中在酰胺 I 峰,对酰胺 III 拉曼峰研究较少。本文基于深度学习技术,从理论上构建蛋白酰胺单元结构和酰胺 I、III 拉曼特征峰的映射关系,然后统计七种冠状病毒刺突蛋白的结构差异,带入模型中获得拉曼特征峰。最后通过洛伦兹线型展开谱线获得谱图,并比较谱图的差异。

1 模型的构建和计算方法

使用 N-甲基乙酰胺(NMA)分子来模拟蛋白的酰胺单元[图 1(b, c)],构建酰胺 I、III 峰的深度学习模型。首先,通过 VASP 软件,采用分子动力学的方法构建 10 000 个 NMA 分子随时间演化的结构,未考虑 H₂O 的影响。然后通过 Gaussian09 软件计算这些结构对应的拉曼谱峰,最后通过深度学习技术构建 NMA 分子结构特征和酰胺 I、III 峰频率以

及强度的映射关系。VASP 计算采用 GGA-PBE 泛函,周期性的边界条件为 14.6×14.6×14.6 Å³,平面波的截断能设置为 400 eV,能量收敛标准为 1×10⁻⁵ eV,分子动力学模拟选择正则系综(NVT),时间步长 1 fs,温度为 300 K,总共模拟 10 000 步。Gaussian09 计算拉曼谱峰基于 B3LYP 杂化泛函水平,基组使用 6-311++G(d, p)。

深度学习模型由 1 个输入层,3 个隐藏层以及 1 个输出层组成,对于每一个隐藏层,使用线性修正单元(Rectified Linear Unit)激活函数。对于 NMA 分子,选用 10 个结构特征来描述(4 个键长,4 个键角,2 个二面角,如图 2)。为了增强模型的鲁棒性,对输入特征以及输出结果进行了归一化处理。



键长: d_{C3-C1} , d_{C1-O1} , d_{C1-N1} , d_{N1-C2}
键角: $\beta_{C3-C1-O1}$, $\beta_{C3-C1-N1}$, $\beta_{O1-C1-N1}$, $\beta_{C1-N1-C2}$
二面角: $\alpha_{C3-C1-N1-C2}$, $\alpha_{O1-C1-N1-C2}$

图 2 用来预测 NMA 分子拉曼位移以及强度的描述符
Fig. 2 The descriptors of NMA molecular used to predict Raman shifts and intensities

2 结果与讨论

2.1 酰胺 I、III 峰模型

基于分子动力学构建了 10 000 个 NMA 分子结构,计算了其均方根误差,为 1.06 Å(图 3),这说明通过动力学演化得到的 NMA 分子结构变化较大且相关性较小。

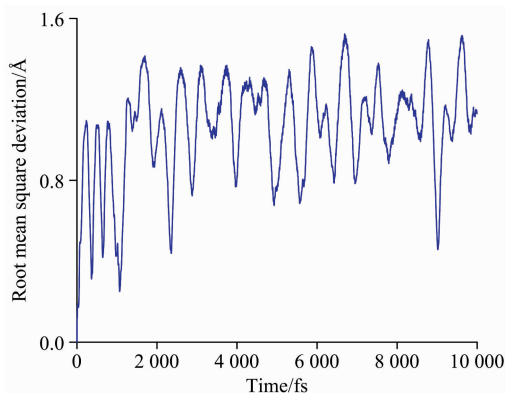


图 3 NMA 分子结构的均方根误差
Fig. 3 Root mean square deviation of NMA molecular structures

同时,计算了 NMA 分子特征间的皮尔逊相关系数(Pearson correlation coefficient),皮尔逊相关系数度量两个变量之间的相关程度,从图 4 中可以看出,除了二面角 $\alpha_{C3-C1-N1-C2}$ 和 $\alpha_{O1-C1-N1-C2}$ 之间的相关系数较大以外,其余的系数基本都接近

于 0，这说明 NMA 分子所选特征相关性很小，二面角 $\alpha_{C3-C1-N1-C2}$ 和 $\alpha_{O1-C1-N1-C2}$ 之间的相关性主要源于 NMA 中 N1 上的孤对电子和羰基 (C=O) 具有明显的共轭作用，使得 C3, O1, C1, N1 和 C2 原子基本共面所致。

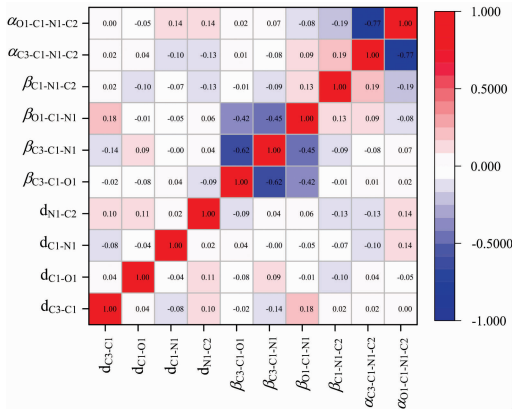


图 4 NMA 描述符间的皮尔逊相关系数
Fig. 4 Pearson correlation coefficient between NMA molecular descriptors

酰胺 I、III 峰的拉曼位移(振动频率)和拉曼强度是深度学习模型的目标，所有的数据分成两部分，训练集和测试集。测试集取 700 个数据，剩余的为训练集数据。通过训练集训练出模型以后，在测试集上评估模型的泛化能力。酰胺 I，III 峰的振动频率，拉曼强度通过深度学习模型计算的结果和 DFT 计算的结果比较如图 5 所示。对于酰胺 I 的振动频率模型[图 5(a)]，皮尔逊相关系数(r)为 0.99，表明酰胺 I 频率模型有很高的预测精度；对于酰胺 III 的振动频率模型[图 5(c)]， r 为 0.92，表明该模型也有很高的精度，略逊于酰胺 I 的振动频率模型。这可能有两点原因构成，一是酰胺 I 的振动模式相对简单，C=O 伸缩振动占据很高的比例，相比之下酰胺 III 的振动模式复杂一些，除了 C-N 伸缩、N-H 弯曲振动外，一些键长、键角的振动也占一定的比例；二是酰胺 I 的振动频率所对应的能量空间相对局域，酰胺 I 的振动和其他振动模式之间的耦合较小，更适合激子模型。对于酰胺 I 的拉曼强度模型[图 5(b)]， r 为 0.81，较为良好却不够精确。对于酰胺 III 的拉曼强度模型[图 5(d)]， r 只有 0.72，精度相对略差。拉曼强度模型精度低于振动频率模型的原因可能是拉曼强度公式为能量的三阶偏导，其公式的复杂程度远超过频率(体系的能量)，因此学习效果略差。

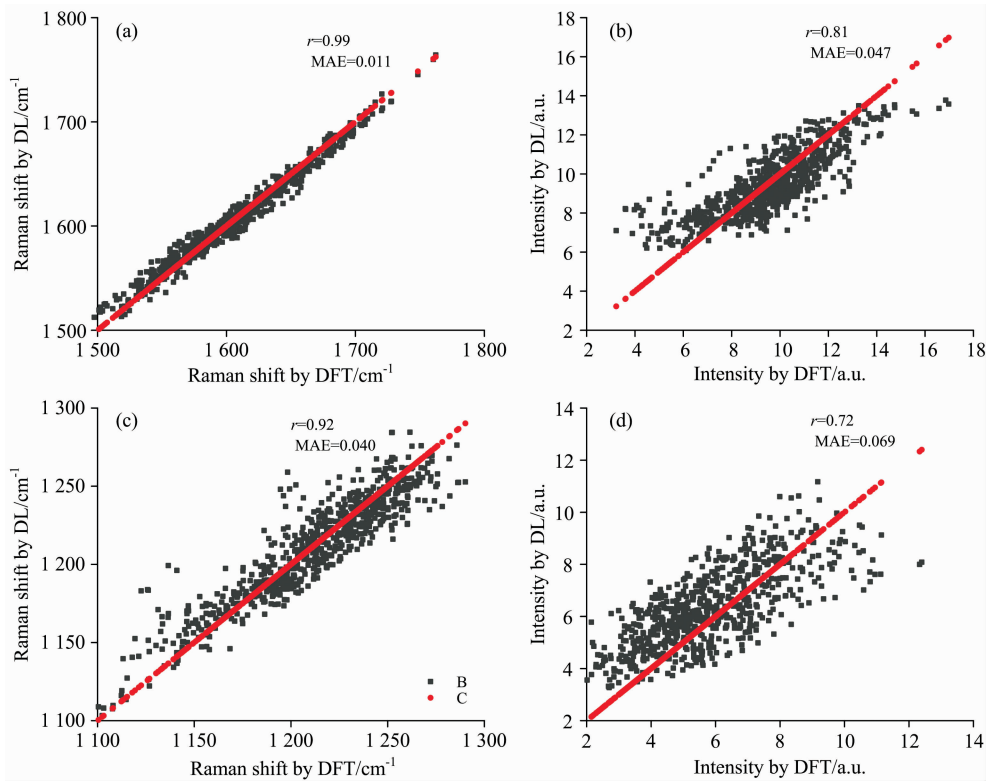


图 5 酰胺 I 峰的拉曼位移 (a)、强度 (b) 以及酰胺 III 峰的拉曼位移 (c)、强度 (d) 通过深度学习模型和 DFT 计算的结果比较
Fig. 5 The Raman shift (a) and intensity (b) of amide I peak and the Raman shift (c) and intensity (d) of amide III peak were compared by deep learning model and DFT calculation

2.2 七种冠状病毒刺突蛋白骨架的结构特征

基于实验上的冠状病毒刺突蛋白结构^[4-9] (PDB code: 6u7h, 5i08, 5szs, 6ohw, 5x59, 5x58, 6vsb)，统计其骨架特征键长、键角、二面角的分布。

从图 6 中可以看出，C1-N1 和 C1-O1 的键长分布较为集中，这主要是 N1 的孤对电子和 C=O 发生共轭导致 C1-N1 和 C1-O1 均有双键的性质，键的力常数较大，不易改变。HCoV-OC43 刺突蛋白骨架的键长相比于其他病毒蛋

刺突蛋白结构显著偏低, 这会导致和键长相关的酰胺 I、III 峰的频率偏高。HCoV-229E 的 C1—O1 键长和 HCoV-OC43 的相近[图 6(b)], 由于 C1—O1 键长是酰胺 I 峰频率的决定性因素, 因此 HCoV-229E 和 HCoV-OC43 刺突蛋白的酰胺 I 峰相近。HCoV-HKU1, HCoV-NL63 刺突蛋白骨架的键

长大于 HCoV-OC43 的键长但小于 MERS-CoV, SARS-CoV, SARS-CoV-2 的键长, 因此, HCoV-HKU1, HCoV-NL63 刺突蛋白的酰胺 I、III 峰的频率低于 HCoV-OC43 但高于 MERS-CoV, SARS-CoV, SARS-CoV-2。

从键角[图 7(a—d)]的分布可以看出: 键角的分布较为

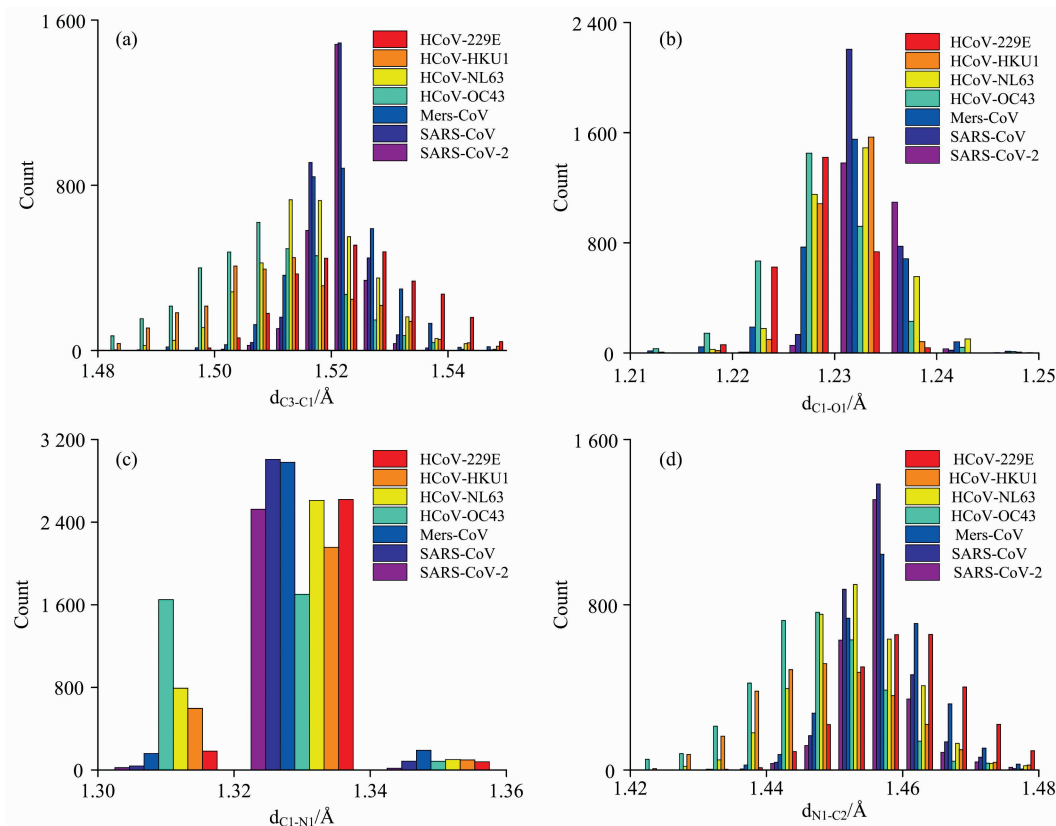


图 6 七种冠状病毒刺突蛋白骨架的键长特征统计分布图

Fig. 6 Statistical distribution of bond length of seven coronaviruses spike protein backbone

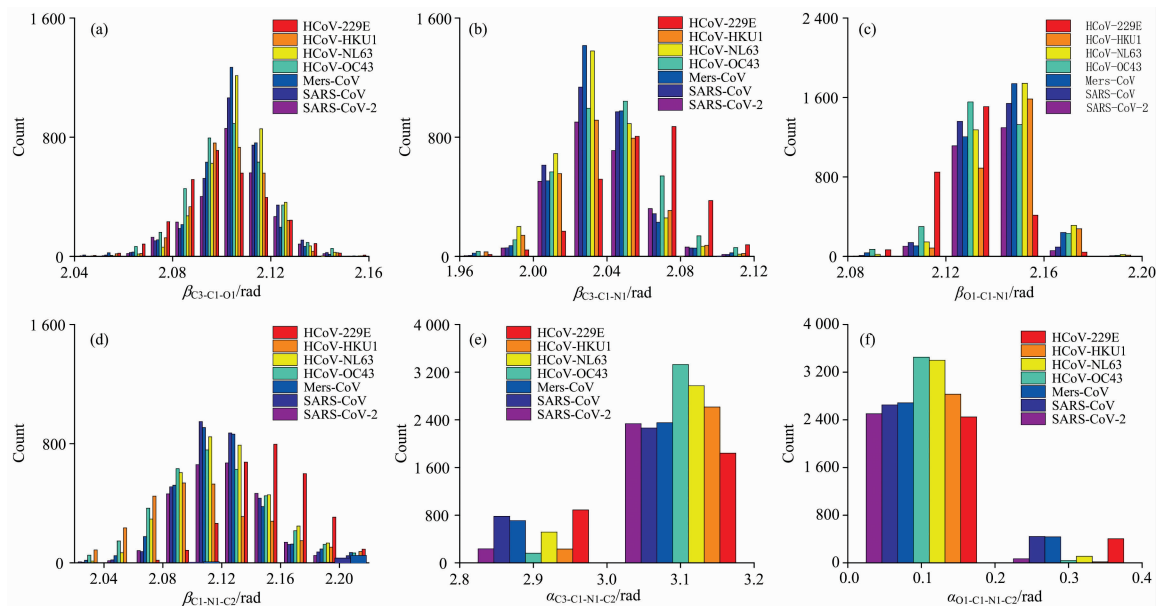


图 7 七种冠状病毒刺突蛋白骨架的键角和二面角特征统计分布图

Fig. 7 Statistical distribution of bond angle and dihedral angle of seven coronaviruses spike protein backbone

广泛且均匀，说明键角变化的力常数较小，七种冠状病毒的键角变化相差不大，键角对酰胺特征峰的影响较小。

从二面角的分布[图 7(e,f)]中可以看出，七种冠状病毒刺突蛋白的二面角均在 180° (3.14 弧度)附近，这是由于酰胺平面共轭导致的。

2.3 七种冠状病毒刺突蛋白的拉曼特征峰比较

根据前面获得的酰胺 I、III 峰的模型(酰胺单元的 10 个特征和酰胺 I、III 振动峰的频率以及强度的映射关系)，从七种冠状病毒刺突蛋白的实验结构中计算出每个酰胺单元的 10 个特征，带入到模型中获得每个酰胺单元的酰胺 I、III 拉曼峰(振动频率和强度)，最后通过洛伦兹线型将每个酰胺单元的 I、III 拉曼峰展开获得七种冠状病毒刺突蛋白的酰胺

I、III 谱带(图 8)。从图中可以看出，七种冠状病毒刺突蛋白的酰胺 I、III 谱带根据最高峰频率可以各分成三个组。对于酰胺 I 峰，SARS-CoV-2, SARS-CoV, MERS-CoV 刺突蛋白频率相近，其频率值在 $1\ 636 \sim 1\ 637\ \text{cm}^{-1}$ 区间；HCoV-HKU1, HCoV-NL63 刺突蛋白频率相近，其频率值在 $1\ 657 \sim 1\ 658\ \text{cm}^{-1}$ 区间；HCoV-229E, HCoV-OC43 刺突蛋白频率相近，其频率值在 $1\ 673 \sim 1\ 674\ \text{cm}^{-1}$ 区间。对于酰胺 III 峰，SARS-CoV-2, SARS-CoV, MERS-CoV 刺突蛋白频率相近，其频率值在 $1\ 263 \sim 1\ 265\ \text{cm}^{-1}$ ；HCoV-229E, HCoV-HKU1, HCoV-NL63 刺突蛋白频率相近，其频率值在 $1\ 272 \sim 1\ 275\ \text{cm}^{-1}$ ；HCoV-OC43 刺突蛋白单独一个频率，其频率值为 $1\ 285\ \text{cm}^{-1}$ 。

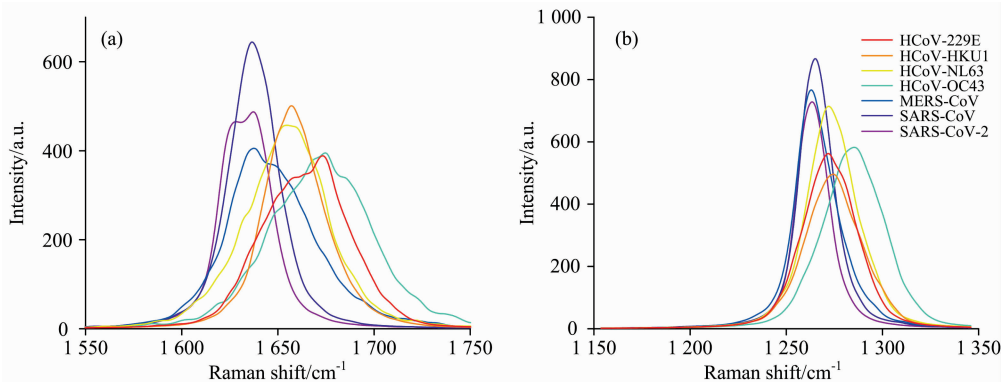


图 8 七种冠状病毒刺突蛋白的酰胺 I、III 拉曼特征峰比较

(a): 酰胺 I; (b): 酰胺 III

Fig. 8 Comparison of Raman characteristic peaks of amide I and III of seven coronavirus spike proteins

(a): Amide I; (b): Amide III

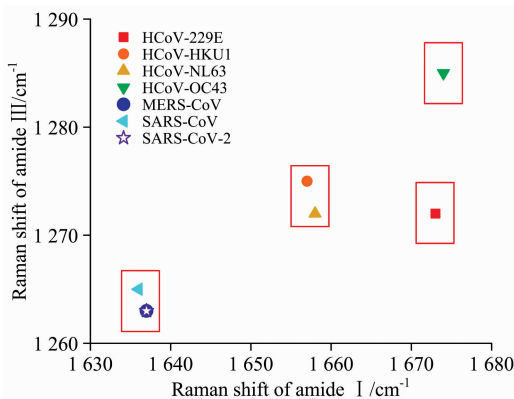


图 9 通过酰胺 I、III 特征峰频率区分七种冠状病毒

Fig. 9 Seven coronaviruses were distinguished by the frequency of amide I and III characteristic peaks

根据上面的分析，可以根据酰胺 I、III 峰的频率划分七种冠状病毒，如图 9 所示，七种冠状病毒分为四组：SARS-CoV-2, SARS-CoV, MERS-CoV 在同一个组；HCoV-HKU1, HCoV-NL63 为一组；HCoV-229E 一组；HCoV-OC43 一组。不同组之间其刺突蛋白特征峰的数值差异较大，可以区分开来。同组中的刺突蛋白特征峰的数值差异较小，较难区分。

3 结 论

基于深度学习的技术构建了刺突蛋白酰胺 I、III 特征拉曼峰模型，结合实验上的冠状病毒刺突蛋白结构，获得了七种冠状病毒刺突蛋白的酰胺 I、III 拉曼特征峰，通过比较七种冠状病毒刺突蛋白的拉曼特征峰，可以把七种冠状病毒分为四组：SARS-CoV-2, SARS-CoV, MERS-CoV 一组；HCoV-HKU1, HCoV-NL63 一组；HCoV-229E 一组；HCoV-OC43 一组。不同组的冠状病毒特征峰差异较大，可以区分开来；同一组的冠状病毒特征峰差异较小，较难区分。

References

- [1] Yao Hangping, Song Yutong, Chen Yong, et al. *Cell*, 2020, 183: 730.
- [2] Muhammad Asif, Muhammad Ajmal, Ghazala Ashraf, et al. *Curr. Opin. Electrochem.*, 2020, 23: 174.
- [3] Cui Feiyun, Zhou Susan. *Biosens. Bioelectron.*, 2020, 165: 112349.
- [4] Daniel Wrapp, Wang Nianshuang, Kizzmekia S Corbett, et al. *Science*, 2020, 367: 1260.
- [5] Yuan Yuan, Cao Duanfang, Zhang Yanfang, et al. *Nat. Commun.*, 2017, 8: 15092.
- [6] M Alejandra Tortorici, Alexandra C Walls, Lang Yifei, et al. *Nat. Struct. Mol. Biol.*, 2019, 26: 481.
- [7] Alexandra C Walls, M Alejandra Tortorici, Brandon Frenz, et al. *Nat. Struct. Mol. Biol.*, 2016, 23: 899.
- [8] Robert N Kirchdoerfer, Christopher A Cottrell, Wang Nianshuang, et al. *Nature*, 2016, 531: 118.
- [9] Li Zhijie, Aidan CA Tomlinson, Alan HM Wong, et al. *eLife*, 2019, 8: e51230.
- [10] Ren Hao, Jiang Jun, Shaul Mukamel. *J. Phys. Chem. B*, 2011, 115: 13955.
- [11] Tian Baoling, Li Shujuan, Lei Shulai, et al. *Chin. Chem. Lett.*, 2021, 32: 2469.
- [12] Fouad S Husseini, David Robinson, Neil T Hunt, et al. *J. Comput. Chem.*, 2017, 38: 1362.
- [13] Cesare M Baronio, Andreas Barth. *J. Phys. Chem. B*, 2020, 124: 1703.
- [14] Magnus W D Hanson-Heine, Fouad S Husseini, Jonathan D Hirst, et al. *J. Chem. Theory Comput.*, 2016, 12: 1905.
- [15] Hu Wei, Ye Sheng, Zhang Yujin, et al. *J. Phys. Chem. Lett.*, 2019, 10: 6026.
- [16] Ye Sheng, Hu Wei, Li Xin, et al. *PNAS*, 2019, 116: 11612.

Theoretical Study on Raman Characteristic Peaks of Coronavirus Spike Protein Based on Deep Learning

NI Shuang, WEN Jia-xing, ZHOU Min-jie, HUANG Jing-lin, LE Wei, CHEN Guo, HE Zhi-bing, LI Bo, ZHAO Song-nan, ZHAO Zong-qing, DU Kai*

Laser Fusion Research Center, China Academy of Engineering Physics, Mianyang 621900, China

Abstract COVID-19, which has lasted for a year, has caused great damage to the global economy. In order to control COVID-19 effectively, rapid detection of COVID-19 (SARS-CoV-2) is an urgent problem. Spike protein is the detection point of Raman spectroscopy to detect SARS-CoV-2. The construction of spike protein Raman characteristic peaks plays an important role in the rapid detection of SARS-CoV-2 using Raman technology. In this paper, we used Deep Neural Networks to construct the amide I and III characteristic peak model of spike proteins based on simplified exciton model, and combined with the experimental structures of seven coronaviruses (HCoV-229E, HCoV-HKU1, HCoV-NL63, HCoV-OC43, MERS-CoV, SARS-CoV, SARS-CoV-2) spike proteins, analyzed the differences of amide I and III characteristic peaks of seven coronaviruses. The results showed that seven coronaviruses could be divided into four groups according to the amide I and III characteristic peaks of spike proteins; SARS-CoV-2, SARS-CoV, MERS-CoV form a group; HCoV-HKU1, HCoV-NL63 form a group; HCoV-229E and HCoV-OC43 form a group independently. The frequency of amide I and III in the same group is relatively close, and it is difficult to distinguish spike proteins by the frequency of amide I and III; the characteristic peaks of amide I and III in different groups are quite different, and spike proteins can be distinguished by Raman spectroscopy. The results provide a theoretical basis for the development of Raman spectroscopy for rapid detection of SARS-CoV-2.

Keywords Coronavirus; Spike protein; Raman spectrum; Amide I, III peak; Deep learning

(Received Mar. 5, 2021; accepted May 26, 2021)

* Corresponding author